

УДК 536.424

© 1991

ИССЛЕДОВАНИЯ ФАЗОВЫХ ПЕРЕХОДОВ В КРИСТАЛЛАХ $\text{ABF}_6 \cdot 6\text{H}_2\text{O}$

И. Н. Флёрнов, М. В. Горев, С. В. Мельникова,
М. Л. Афанасьев, К. С. Александров

Изучены двойникование, двупреломление и теплоемкость ряда силикатов и титанатов семейства $\text{ABF}_6 \cdot 6\text{H}_2\text{O}$. Обнаружены высокотемпературные фазы в ряде кристаллов. Дейтерирование мало влияет на температуры фазовых переходов.

Структурные фазовые переходы (ФП) во фтористых гексагидратах с общей формулой $\text{ABF}_6 \cdot 6\text{H}_2\text{O}$ (где A=Mg, Mn, Fe, Co, Zn, Ni, Cd и B=Ti, Si, Ge, Zr) в настоящее время широко исследуются различными методами [1-15]. Эти соединения имеют родственные кристаллические структуры и состоят из двухвалентных ионов $[\text{A} \cdot 6\text{H}_2\text{O}]^{2+}$ и $[\text{BF}_6]^{2-}$, представляющих собой октаэдры, упакованные в ромбоэдрически искаженную структуру типа CsCl. Как правило, октаэдры $[\text{BF}_6]^{2-}$ имеют правильную форму, а водные могут быть слегка вытянуты или сжаты вдоль оси $\bar{3}$.

По симметрии исходной фазы кристаллы семейства можно разделить на две группы. Одни из них изоструктурны $\text{NiSnCl}_6 \cdot 6\text{H}_2\text{O}$ (пространственная группа $R\bar{3}$, $Z=1$): $\text{CoSiF}_6 \cdot 6\text{H}_2\text{O}$, $\text{NiSiF}_6 \cdot 6\text{H}_2\text{O}$, $\text{ZnSiF}_6 \cdot 6\text{H}_2\text{O}$, $\text{ZnTiF}_6 \cdot 6\text{H}_2\text{O}$, $\text{MnTiF}_6 \cdot 6\text{H}_2\text{O}$, $\text{CoTiF}_6 \cdot 6\text{H}_2\text{O}$ [1, 2, 6, 16].

Вторая группа кристаллов $\text{FeSiF}_6 \cdot 6\text{H}_2\text{O}$, $\text{MgSiF}_6 \cdot 6\text{H}_2\text{O}$, $\text{MnSiF}_6 \cdot 6\text{H}_2\text{O}$, $\text{MgTiF}_6 \cdot 6\text{H}_2\text{O}$ характеризуется неоднозначностью определения симметрии разными исследователями. Пространственные группы $\text{FeSiF}_6 \cdot 6\text{H}_2\text{O}$ [17] и $\text{MgSiF}_6 \cdot 6\text{H}_2\text{O}$ [18] определены как $R\bar{3}m$ ($Z=1$), а $\text{MnSiF}_6 \cdot 6\text{H}_2\text{O}$ [16] — $P\bar{3}m1$ ($Z=3$). Дополнительные структурные рефлексы, не свойственные группе $R\bar{3}m$, были обнаружены в кремниевых солях железа и магния в [3]. Авторы [4, 5] предложили структурные модели, отличающиеся пространственными группами исходных фаз: $P\bar{3}$ — $\text{MgSiF}_6 \cdot 6\text{H}_2\text{O}$ и $P3$ — $\text{FeSiF}_6 \cdot 6\text{H}_2\text{O}$.

Детальный анализ структуры низкотемпературной фазы выполнен для $\text{MgSiF}_6 \cdot 6\text{H}_2\text{O}$ [18]. ФП при 298 К в этом кристалле происходит в моноклинную фазу (пр. гр. $P2_1/c$) и сопровождается удвоением объема элементарной ячейки ($Z=2$). Исследования низкотемпературных фаз ряда других кристаллов $\text{ZnTiF}_6 \cdot 6\text{H}_2\text{O}$ и $\text{MnTiF}_6 \cdot 6\text{H}_2\text{O}$ [1], $\text{FeSiF}_6 \cdot 6\text{H}_2\text{O}$ [3], $\text{CoSiF}_6 \cdot 6\text{H}_2\text{O}$ и $\text{MnSiF}_6 \cdot 6\text{H}_2\text{O}$ [16] выполнены на поликристаллических образцах, в частности, из-за растрескивания монокристаллов при ФП. Поэтому результатом этих работ является лишь предположение, что структура ниже температуры ФП (T_0) идентична моноклинной структуре $\text{MgSiF}_6 \cdot 6\text{H}_2\text{O}$. Анализ ЭПР спектров показал, что низкотемпературная фаза $\text{MgTiF}_6 \cdot 6\text{H}_2\text{O}$, по-видимому, не принадлежит моноклинной симметрии, так как в спектре наблюдаются три линии, а не шесть, как в $\text{MgSiF}_6 \cdot 6\text{H}_2\text{O}$ и $\text{ZnTiF}_6 \cdot 6\text{H}_2\text{O}$ [9, 11].

Роль фторных и водных октаэдров в ФП исследовалась в нескольких работах, в частности, методом ИК-спектроскопии на фторотитанатах мар-

ганца и цинка [13]. Было обнаружено существенное изменение при T_0 либрационных мод водной молекулы и октаэдра $[\text{TiF}_6]^{2-}$.

Недавно появились сообщения о существовании промежуточной фазы (между тригональной и моноклинной фазами) в ряде кристаллов [6, 9–11]. По результатам ЭПР исследований промежуточная фаза $\text{MgBF}_6 \cdot 6\text{H}_2\text{O}$ ($B=\text{Ti}, \text{Si}, \text{Ge}$) характеризовалась, как несоразмерная [9–11].

Калориметрические измерения выполнены для ряда кремниевых соединений в [14, 15]. Для разных кристаллов отмечено значительное отличие величин изменения энтропии при ФП.

В настоящей работе исследованы двойникование, двупреломление и теплоемкость ряда титановых и силикатных соединений в широком интервале температур вплоть до температуры разложения $T_{\text{разл}}$, а также изучено влияние дейтерирования на ФП в этих кристаллах.

Монокристаллы в форме гексагональных призм выращивались методами регулируемого снижения температуры и испарения насыщенного водного раствора в кристаллизаторе (+60 °C).

1. Оптические свойства

Наблюдения процессов двойникования, сопровождающего ФП между тригональной и моноклинной (или триклинической) фазами, проводились на кристаллах $\text{CoSiF}_6 \cdot 6\text{D}_2\text{O}$ ($D=0$ и 90 %), $\text{CoTiF}_6 \cdot 6\text{D}_2\text{O}$ ($D=0$ и 90 %), $\text{MgSiF}_6 \cdot 6\text{H}_2\text{O}$, $\text{ZnTiF}_6 \cdot 6\text{H}_2\text{O}$, $\text{MgTiF}_6 \cdot 6\text{H}_2\text{O}$ с помощью поляризационного микроскопа МИН-8.

На двух первых кристаллах проверялось наличие предложенной в [6] последовательности ФП. Обнаружено, что оптическая анизотропия в срезе

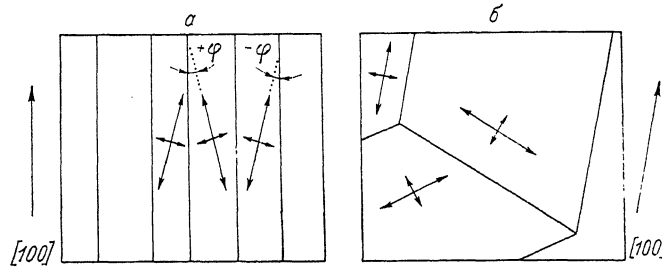


Рис. 1. Разворот оптических индикаторов в двойниках одной серии. Кристалл $\text{MgTiF}_6 \times 6\text{H}_2\text{O}$, срез (001) (a). Двойниковая структура в срезе (001) $\text{ZnTiF}_6 \cdot 6\text{H}_2\text{O}$ (б).

(001) появляется при температурах 265 ($D=0$) и 272 K ($D=90\%$) в силикатах и при 260 ($D=0$) и 268 K ($D=90\%$) в титанатах. Эти температуры удовлетворительно совпадают со значениями $T_0 = 260 \div 272$ K, полученными в других экспериментах для кристаллов с различной степенью дейтерирования [14, 15]. Никаких дополнительных изменений оптических свойств вплоть до 80 K не наблюдалось. Таким образом, настоящие исследования показали, что симметрия кристаллов меняется при вышеуказанных температурах, а не при 170 K, как указывалось в [6], и последовательность ФП отсутствует.

Для получения отсутствующих до сих пор сведений о возможной симметрии фаз титаната магния проводилось сравнительное исследование его двойниковой структуры и картин двойникования титаната цинка, испытывающего ФП $R\bar{3} \rightarrow P2_1/c$ и силиката магния $R\bar{3}m \rightarrow P2_1/c$. В срезе (001) двойники $\text{MgSiF}_6 \cdot 6\text{H}_2\text{O}$ и $\text{MgTiF}_6 \cdot 6\text{H}_2\text{O}$ представляют собой три серии полос, расположенных под углом 120°. Положение погасания в двойниках силиката совпадает с направлением [100], т. е. параллельно одному из трех типов границ. В титанате магния тоже три типа границ, но число

погасаний шесть из-за разворота индикаторов в соседних двойниках на угол $\pm\varphi=10^\circ$ (при $T=293$ К) (рис. 1, а).

Двойниковая структура титаната цинка ниже $T_0=180$ К состоит из крупных $\sim 1 \frac{1}{2}$ мм² треугольных и ромбических областей, ограниченных трещинами, образовавшимися в результате ФП (рис. 1, б). Оси оптических индикаторов расположены под углом 120° друг к другу и совпадают с [100]. $ZnTiF_6 \cdot 6H_2O$ и $MgSiF_6 \cdot 6H_2O$ раздвойникуются при небольших сжимающих напряжениях. $MgTiF_6 \cdot 6H_2O$ не удается монодоменизировать при приложении давлений вдоль [100] и [110] вплоть до разрушения образца.

В срезе (100) двойниковая структура обнаружена только в $MgTiF_6 \cdot 6H_2O$ в виде очень мелких полос, параллельных [001]. Погасание — раз-

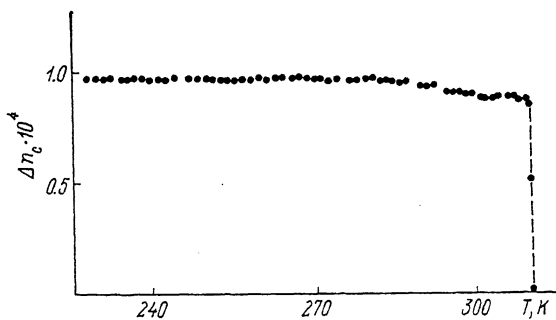


Рис. 2. Двупреломление Δn_c $MgTiF_6 \cdot 6H_2O$.

мающих напряжениях. $MgTiF_6 \cdot 6H_2O$ не удается монодоменизировать при приложении давлений вдоль [100] и [110] вплоть до разрушения образца.

В срезе (100) двойниковая структура обнаружена только в $MgTiF_6 \cdot 6H_2O$ в виде очень мелких полос, параллельных [001]. Погасание — раз-

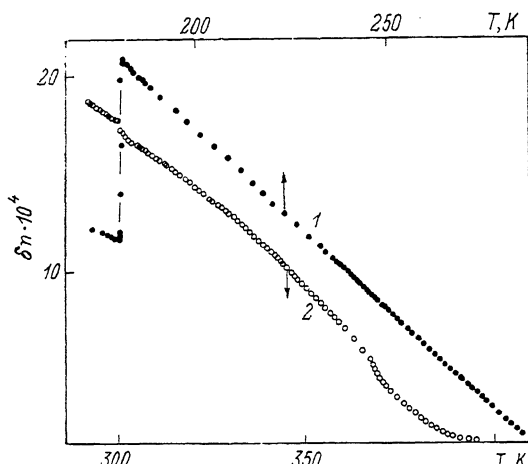


Рис. 3. Изменение двупреломления $ZnTiF_6 \times 6H_2O$ (1) и $MgSiF_6 \cdot 6H_2O$ (2).

мытое около [001]. В магниевом силикате положение погасания повернуто относительно [001] на 3° , в цинковом титанате на $5—6^\circ$.

Поляризационно-оптические исследования, проведенные на трех кристаллах, показывают, что при T_0 происходит потеря оси третьего порядка [001] с сохранением (или появлением) вдоль [100] оси второго порядка (или нормали к плоскости). Картина двойникования в $MgTiF_6 \cdot 6H_2O$ позволяет говорить о принадлежности его низкотемпературной фазы триклинической симметрии. Этот вывод согласуется с данными ЭПР исследований [9]. Отсутствие второй оптической гармоники во всех трех кристаллах дает возможность выбрать симметрию $2/m$ для $ZnTiF_6 \cdot 6H_2O$ и $MgSiF_6 \cdot 6H_2O$ и 1 для $MgTiF_6 \cdot 6H_2O$ в низкотемпературной фазе.

Более сложная картина двойникования $MgSiF_6 \cdot 6H_2O$ по сравнению с $ZnTiF_6 \cdot 6H_2O$, возможно, связана с потерей при ФП помимо оси 3 еще и

трех плоскостей m . Таким образом, можно предположить, что симметрия высокотемпературной фазы $MgTiF_6 \cdot 6H_2O$ такая же, как и в силикате — $\bar{3}m$. Шесть типов погасаний двойников наблюдалось недавно в $FeSiF_6 \cdot 6H_2O$ ($\pm\varphi=6^\circ$). Это позволило авторам [19] отнести ФП к типу $\bar{3}m \rightarrow \bar{1}$, как и в исследованном нами $MgTiF_6 \cdot 6H_2O$.

Двупреломление титаната магния измерено на срезе (001) методами компенсатора Сенармона и Берека (рис. 2). В процессе охлаждения Δn_o появляется скачкообразно ($\Delta n_o \approx 0.9 \cdot 10^{-4}$) при $T=300$ К, почти достигая величины насыщения ($\approx 10^{-4}$). Гистерезис T_0 составил ≈ 10 К. Темпера-

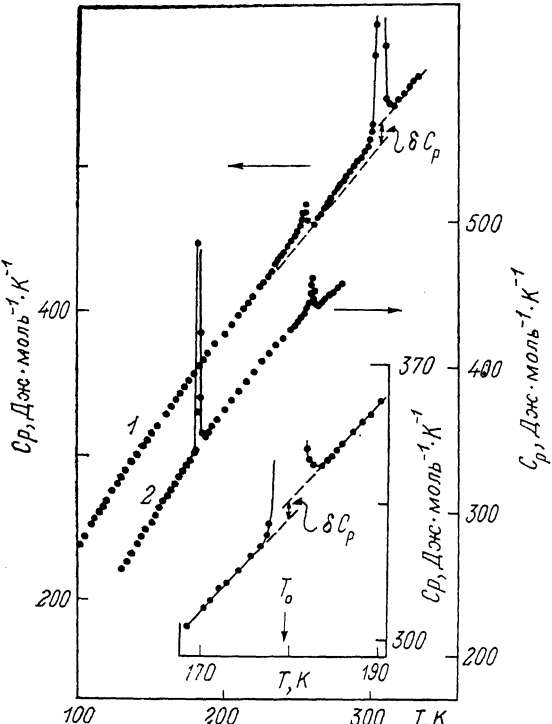


Рис. 4. Теплоемкость $MgTiF_6 \cdot 6D_2O$ ($D=90\%$) (1) и $ZnTiF_6 \cdot 6D_2O$ ($D=53\%$) (2). На вставке — теплоемкость $ZnTiF_6 \cdot 6D_2O$ вблизи T_0 . Штриховая линия — решеточная теплоемкость. δC_p — скачок решеточной теплоемкости.

турные изменения двупреломления $ZnTiF_6 \cdot 6H_2O$ и $MgSiF_6 \cdot 6H_2O$ были тщательно измерены в тех областях, где предполагались ФП в «промежуточную» фазу [6, 10]. Для этой цели наиболее подходящим является срез (100). Чувствительность измерений составляла $\approx 10^{-7}$. При $T=T_0$ обнаружены скачки двупреломления (рис. 3), отличающиеся по величине почти в 20 раз. Выше T_0 во всем интервале измерений двупреломление $ZnTiF_6 \cdot 6H_2O$ изменяется линейно в отличие от $MgSiF_6 \cdot 6H_2O$. В последнем выше ~ 360 К заметно изменение кривизны $\delta\mu(T)$, здесь же ухудшаются условия измерения из-за потери кристаллической воды с поверхности образца. В следующем разделе будет показано, что $T_{\text{расл}}$ этого кристалла ~ 350 К.

2. Т е п л о е м к о с т ь

Измерения теплоемкости выполнены на адиабатическом калориметре (АК) и дифференциальном сканирующем микрокалориметре ДСМ-2М. Первым методом изучены кристаллы $MgTiF_6 \cdot 6D_2O$ и $ZnTiF_6 \cdot 6D_2O$ в интервале 60—325 К. Измерения с помощью ДСМ при повышенных температурах (вплоть до $T_{\text{расл}}$) проведены на этих же объектах, а в широком ин-

Термодинамические характеристики структурных фазовых переходов в кристаллах $\text{ABF}_6 \cdot 6\text{H}_2\text{O}$. T_0 , δT_0 — К; δS_0 , ΔS_0 — Дж/моль К; ВТФ и НТФ — симметрии высокого- и низкотемпературных фаз; * — результаты настоящей работы, за исключением структурных данных; m — моноклинная симметрия

Кристалл	D, %	T_0	ВТФ	НТФ	δT_0	δS_0	ΔS_0	$\delta C/C_{\text{рем}}$	Литературная ссылка
$\text{ZnTiF}_6 \cdot 6\text{D}_2\text{O}$	90 53	180.9 179.7 176.5	$R\bar{3}$	$P2_1/c$	1.3 3.0	5.53 7.79 7.90	5.53 7.79 7.90	1 0.7	* *
$\text{MnTiF}_6 \cdot 6\text{D}_2\text{O}$	50 0	255 251	$R\bar{3}$	$P2_1/c$		6.80 6.86	6.80 6.86		*
$\text{CsSiF}_6 \cdot 6\text{D}_2\text{O}$	90 0	272.3 264.8	$R\bar{3}$	$P2_1/c$		6.24 5.29	6.24 5.29	1.5	[15]
$\text{CsTiF}_6 \cdot 6\text{D}_2\text{O}$	90 0	267.8 259.7	$R\bar{3}$	$P2_1/c$		5.9 6.3	5.9 6.3		*
$\text{MgSiF}_6 \cdot 6\text{H}_2\text{O}$		299.8	$R\bar{3}m(P\bar{3})$	$P2_1/c$		2.35	3.02	3.5	[14]
$\text{MgTiF}_6 \cdot 6\text{D}_2\text{O}$	90 55 0	314.6 313.5 308.9	$R\bar{3}m$	$P\bar{1}$	15	2.22 2.17 1.80	3.04 3.19 2.77	3 2.5 3.5	*
$\text{MnSiF}_6 \cdot 6\text{H}_2\text{O}$	236.2		$P\bar{3}m4$	$P2_1/m$		1.61	1.61		[14]
$\text{FeSiF}_6 \cdot 6\text{D}_2\text{O}$	50 0	233 225.5	$R\bar{3}m(P\bar{3})$	$P2_1/c(1)$		3.3 3.77	4.10	2.3	[16]

тервале температур — на $\text{CoTiF}_6 \cdot 6\text{D}_2\text{O}$, $\text{CoSiF}_6 \cdot 6\text{D}_2\text{O}$, $\text{MnTiF}_6 \cdot 6\text{D}_2\text{O}$, $\text{MgSiF}_6 \cdot 6\text{H}_2\text{O}$, $\text{MnSiF}_6 \cdot 6\text{H}_2\text{O}$, $\text{FeSiF}_6 \cdot 6\text{D}_2\text{O}$.

$\text{MgTiF}_6 \cdot 6\text{D}_2\text{O}$. Методом АК измерена теплоемкость трех кристаллов с различным содержанием дейтерия: $D=0$, 55 и 90 %. Зависимость $C_p(T)$ одного из них, отражающая общий характер поведения, представлена на рис. 4. Для всех образцов обнаружены два пика теплоемкости, один из которых при $T_0=309-316$ К (в зависимости от величин D) связан с известным структурным ФП [20, 21]. Замещение водорода дейтерием мало влияет на T_0 (см. таблицу) и практически не меняет положения второго пика теплоемкости при $T'=266.5 \pm 0.3$ К.

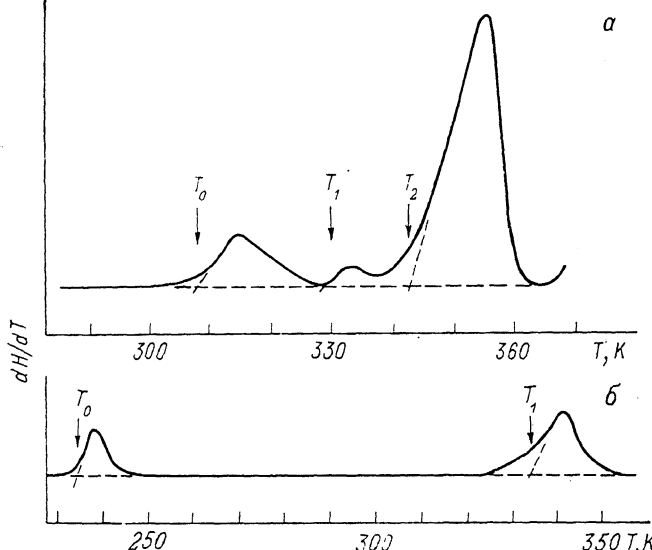


Рис. 5. Зависимость мощности теплооглощения от температуры $\text{MgTiF}_6 \cdot 6\text{H}_2\text{O}$ (а) и $\text{MnSiF}_6 \cdot 6\text{H}_2\text{O}$ (б).

Структурный ФП является превращением первого рода: для него характерны значительный гистерезис δT_0 и скачок энтропии δS_0 (см. таблицу). Помимо δS_0 существует изменение энтропии, связанное с процессами упорядочения в низкотемпературной фазе, о чем свидетельствует наличие избыточной теплоемкости ΔC_p в интервале 30—40 К ниже T_0 . Из этой таблицы видно, что величина δS_0 составляет 65—75 % от полного изменения энтропии ΔS_0 . Для всех исследованных образцов обнаружена характерная особенность: значения решеточной теплоемкости, полученные экстраполяцией из разных фаз, не совпадают при $T=T_0$ (рис. 4). Скачок δC_p составляет ~ 3 % от решеточной теплоемкости $C_{\text{реш}}$.

Величина пика теплоемкости при T' колеблется для разных образцов в пределах 2—10 %, а соответствующее изменение энтальпии 190—520 Дж/моль.

Методом ДСМ кристалл изучался в интервале температур, охватывающем аномалии, наблюдавшиеся методом АК, и температуру разложения. Последняя определялась по потерям массы образцов и невоспроизведимости пика теплоемкости при T_0 . $T_{\text{разл}}$ оказалась разной для образцов из различных кристаллизаций: 340—365 К. Для образцов с высокой $T_{\text{разл}}$ помимо аномалии, связанной с известным структурным ФП при T_0 , зарегистрированы еще два пика теплоемкости при $T_1=330$ и $T_2=343$ К (рис. 5, а), значительно отличающиеся изменениями энтропии $\Delta S_1=0.3$ и $\Delta S_2=-5.8$ Дж/моль·К.

$\text{ZnTiF}_6 \cdot 6\text{D}_2\text{O}$. Методом АК исследованы образцы с $D=53$ и 90 %. Термодинамические характеристики кристалла с $D=0$ определены методом ДСМ (см. таблицу). Дейтерирование не приводит к значительному сдвигу T_0 .

Для титаната цинка, как и для титаната магния, характерно наличие двух пиков на зависимости $C_p(T)$ (рис. 4). Ниже T_0 избыточная теплоемкость отсутствует, т. е. $\delta S_0 = \Delta S_0$ (см. таблицу). ФП характеризуется скачком решеточной теплоемкости 1 % при $T = T_0$ (рис. 4). Второй пик теплоемкости при $T' = 257$ К находится вблизи T' для $MgTiF_6 \cdot 6H_2O$, и величина теплового эффекта того же порядка: $\Delta H' = 190$ Дж/моль. Вплоть до $T_{\text{раз.}} = -350$ К никаких аномалий $C_p(T)$ больше не найдено.

$CoSiF_6 \cdot 6D_2O$, $CoTiF_6 \cdot 6D_2O$, $MnTiF_6 \cdot 6D_2O$. Методом АК измерения теплоемкости кобальтового силиката с $D=0\%$ выполнены в интервале 8—298 К [15]. В настоящей работе измерения проводились методом ДСМ от 120 К до $T_{\text{раз.}} = 390$ К на двух кристаллах с содержанием дейтерия $D=0$ и 90 %. Обнаружены только аномалии теплоемкости, связанные с известным структурным ФП $R\bar{3} \rightarrow P2_1/c$. Изменения энтропии не зависят в пределах точности метода от дейтерирования (см. таблицу). Аналогичные результаты получены и для кобальтового титаната, измерения $C_p(T)$ которого впервые выполнены на образцах с $D=0$ и 90 % до $T_{\text{раз.}} = 375$ К. Сдвиг T_0 при замещении водорода дейтерием в кобальтовых соединениях невелик: 7.5 и 8.1 К для силиката и титаната соответственно.

Для титаната марганца ($D=50\%$), как и для других кристаллов с пространственной группой $R\bar{3}$, изменение энтропии достаточно велико и хорошо согласуется с ΔS_0 , определенным ранее для кристалла с $D=0\%$ [1]. Других аномалий $C_p(T)$ до $T_{\text{раз.}} = 350$ К не обнаружено.

$FeSiF_6 \cdot 6D_2O$ ($D=0$ и 50 %), $MgSiF_6 \cdot 6H_2O$, $MnSiF_6 \cdot 6H_2O$. Измерения теплоемкости методом АК всех трех кристаллов с $D=0\%$ выполнены до 300—320 К [14, 15]. В настоящей работе проведены измерения методом ДСМ до $T_{\text{раз.}}$, которые составляют 380, 350 и 370 К соответственно для силикатов железа, магния и марганца. В первых двух кристаллах аномалий теплоемкости, кроме соответствующих структурным ФП, не обнаружено. Замещение водорода дейтерием (50 %) повышает T_0 в силикate железа на 8 К (см. таблицу). В $MnSiF_6 \cdot 6H_2O$ помимо аномалии при $T = T_0$ зарегистрирован пик ΔC_p при $T_1 = 331$ К (рис. 5, б). Величина изменения энтропии $\Delta S_1 = 3$ Дж/моль·К.

3. Обсуждение

Аномалиям ΔC_p при $T' = 257 \div 267$ К в кристаллах $ZnTiF_6 \cdot 6H_2O$ и $MgTiF_6 \cdot 6H_2O$ не соответствуют какие-либо изменения в оптических свойствах, спектрах ЭПР и ЯМР [20, 21]. Подобные аномалии теплоемкости при $T' \simeq 264$ К обнаружены нами при подробном анализе калориметрических данных для $FeSiF_6 \cdot 6H_2O$ и $MgSiF_6 \cdot 6H_2O$ [14, 15]. Более того, анализ показал, что аномалия теплоемкости ($\sim 1.2\%$) наблюдается при $T' = -252$ К в кристалле $NiSiF_6 \cdot 6H_2O$ [14], который не испытывает структурных ФП.

Величины изменения энталпии при T' в значительной мере отличаются как для разных кристаллов $ABF_6 \cdot 6H_2O$, так и для различных образцов одного кристалла. Аномалии существуют в разных фазах: в тригональной фазе $ZnTiF_6 \cdot 6H_2O$, $FeSiF_6 \cdot 6H_2O$ и $NiSiF_6 \cdot 6H_2O$ и в низкотемпературной фазе магниевых соединений. Причиной появления аномалий теплоемкости в области 250—275 К в кристаллах, выращиваемых из растворов и не претерпевающих при этих температурах ФП, может быть наличие небольших количеств воды или солевого раствора, локализованных в замкнутых микрополостях. Наличие таких дефектов в исследованных в настоящей работе кристаллах подтверждается наблюдениями под микроскопом. Изучение растворов соответствующих солей с помощью микроскопа показало, что плавление их происходит в той же области температур, где наблюдается аномалия теплоемкости. Оценки количества примесной воды, выполненные с использованием энталпии плавления льда, показали, что масса свободной воды в разных образцах составляет 0.1—0.5 %.

По данным ЯМР и ЭПР исследований [6], $\text{CoSiF}_6 \cdot 6\text{D}_2\text{O}$, $\text{CoTiF}_6 \cdot 6\text{D}_2\text{O}$ и $\text{ZnTiF}_6 \cdot 6\text{D}_2\text{O}$ переходят из ромбоэдрической ($R\bar{3}$) в моноклинную ($P2_1/c$) фазу через промежуточную. Предполагается, что последняя характеризуется сохранением симметрии и изменением формы потенциальной ямы $\text{O}-\text{H}\dots\text{F}$ связи. Температуры двух последовательных ФП, согласно [6], следующие: 260 и 170 К ($\text{CoSiF}_6 \cdot 6\text{D}_2\text{O}$), 260 и 175 К ($\text{CoTiF}_6 \cdot 6\text{D}_2\text{O}$), 230 и 180 К ($\text{ZnTiF}_6 \cdot 6\text{D}_2\text{O}$). Эти результаты противоречат данным настоящей работы и результатам других исследований. В калориметрических и оптических экспериментах обнаружены аномалии лишь при температурах T_0 (см. разделы 1 и 2), соответствующих положению на температурной шкале структурных ФП в этих кристаллах.

В то же время обнаружены высокотемпературные ФП в кристалле $\text{MgTiF}_6 \cdot 6\text{H}_2\text{O}$ при T_1 и T_2 , не являющихся особенностями по данным ЭПР исследований [11]. Оптические исследования были невозможны из-за небольших размеров кристаллов с высокой $T_{\text{расв.}}$.

Изменение энтропии ΔS_0 при структурных ФП из тригональной в моноклинную (или триклиновую) фазу варьируется в широких пределах как в целом по семейству, так и в рядах титанатов и силикатов (см. таблицу). В то же время для групп кристаллов, образованных по принадлежности исходной фазы к той или иной пространственной группе симметрии, величины оказываются характерными. ФП в первой группе кристаллов ($R\bar{3}$) отличаются довольно большой величиной $\Delta S_0 = (0.67-0.95)R$, которая к тому же равна скачку энтропии δS_0 (см. таблицу). Кроме того, в кристаллах этой группы не обнаружены высокотемпературные ФП.

Вторая группа составлена из кристаллов, возможные пространственные группы которых $R\bar{3}m$, $P\bar{3}m1$, $P\bar{3}$, а изменения энтропии относительно малы $\Delta S_0 = (0.19-0.38)R$. Для ФП в этих кристаллах свойственно наличие процессов упорядочения в низкотемпературной фазе $\Delta S_0 \neq \delta S_0$ (см. таблицу). Кристалл $\text{FeSiF}_6 \cdot 6\text{H}_2\text{O}$, симметрия высоко- и низкотемпературных фаз которого не определена до сих пор однозначно [5, 17, 19], характеризуется промежуточным значением $\Delta S_0 = 0.49R$. Дальнейшее выяснение особенностей ФП в группах кристаллов семейства $\text{ABF}_6 \cdot 6\text{H}_2\text{O}$ могут дать исследования, например, влияния гидростатического давления, которые будут выполнены в ближайшее время.

Авторы выражают благодарность В. С. Абакумовой за выращенные кристаллы и Э. П. Зееру за обсуждение результатов работы.

Список литературы

- [1] Chatopadhyay T., Devreux E., Peters K. et al. // J. Phys. C. 1988. V. 21. N 8. P. 1321—1334.
- [2] Ray S., Zalkin A., Templeton H. // Acta Crystallogr. 1973. V. 29B. N 12. P. 2741—2747.
- [3] Jehanno G., Varret R. // Acta Crystallogr. 1975. V. 31A. N 6. P. 857—858.
- [4] Chevrier P. G., Jehanno G. // Acta Crystallogr. 1979. V. 35A. N 6. P. 912—916.
- [5] Chevrier P. G., Jehanno G. // Acta Crystallogr. 1981. V. 37A. N 4. P. 578—584.
- [6] Bose M., Roy K., Ghoshray R. // Phys. Rev. 1987. V. 35B. N 13. P. 6619—6626.
- [7] Cheung H. M., Lichti R. L. // J. Phys. C. 1985. V. 18. N 33. P. 6157—6162.
- [8] Afanasyev M. L., Lybzikov G. F., Menshikov V. V., Zeer E. P. // Chem. Phys. Lett. 1979. V. 60. N 5. P. 279—280.
- [9] Rubins R. S., Kwee K. K. // J. Chem. Phys. 1977. V. 66. N 9. P. 3948—3952.
- [10] Зиатдинов А. М., Куряый В. Г., Давидович Р. Л. // ФТТ. 1985. Т. 27. № 7. С. 2152—2154.
- [11] Зиатдинов А. М., Куряый В. Г., Давидович Р. Л. // ФТТ. 1986. Т. 28. № 11. С. 3549—3551.
- [12] Зиатдинов А. М., Куряый В. Г., Давидович Р. Л. // ФТТ. 1987. Т. 29. № 1. С. 215—218.
- [13] Choudhary P., Ghosh B., Lamba O. P., Bist H. D. // J. Phys. C. 1983. V. 16. N 9. P. 1609—1613.
- [14] Weir R. D., Halstead R. E., Stawley A. K. // Faraday Discuss. Chem. Soc. 1980. N 69. P. 202—209.
- [15] Weir R. D., Halstead R. E., Stawley A. K. // J. Chem. Soc. Faraday Trans. 1985. V. 2. N 81. P. 189—197.

- [16] Kodera E., Torii A., Osaki K., Watanabe T. // J. Phys. Soc. Jap. 1972. V. 32. N 3. P. 863.
- [17] Hamilton W. C. // Acta Crystallogr. 1962. V. 15. N 4. P. 353—360.
- [18] Syouyama S., Osaki K. // Acta Crystallogr. 1972. V. B28. N 8. P. 2626—2627.
- [19] Ерёменко В. В., Песчанский А. В., Фомин В. И. // Кристаллография. 1989. Т. 34. № 3. С. 658—662.
- [20] Лыбзиков Г. Ф., Флёрөв И. Н., Искорнев И. М. и др. // Сб. «Ядерная магнитная релаксация и динамика спиновых систем». Красноярск, ИФ СО АН СССР, 1982. С. 15—32.
- [21] Петраковская Э. А., Афанасьев М. Л., Флёрөв И. Н. и др. // Сб. «Ядерный магнитный резонанс и внутренние движения в кристаллах». Красноярск, ИФ СО АН СССР, 1988. С. 105—110.

Институт физики им. Л. В. Киренского
СО АН СССР
Красноярск

Поступило в Редакцию
10 июля 1990 г.